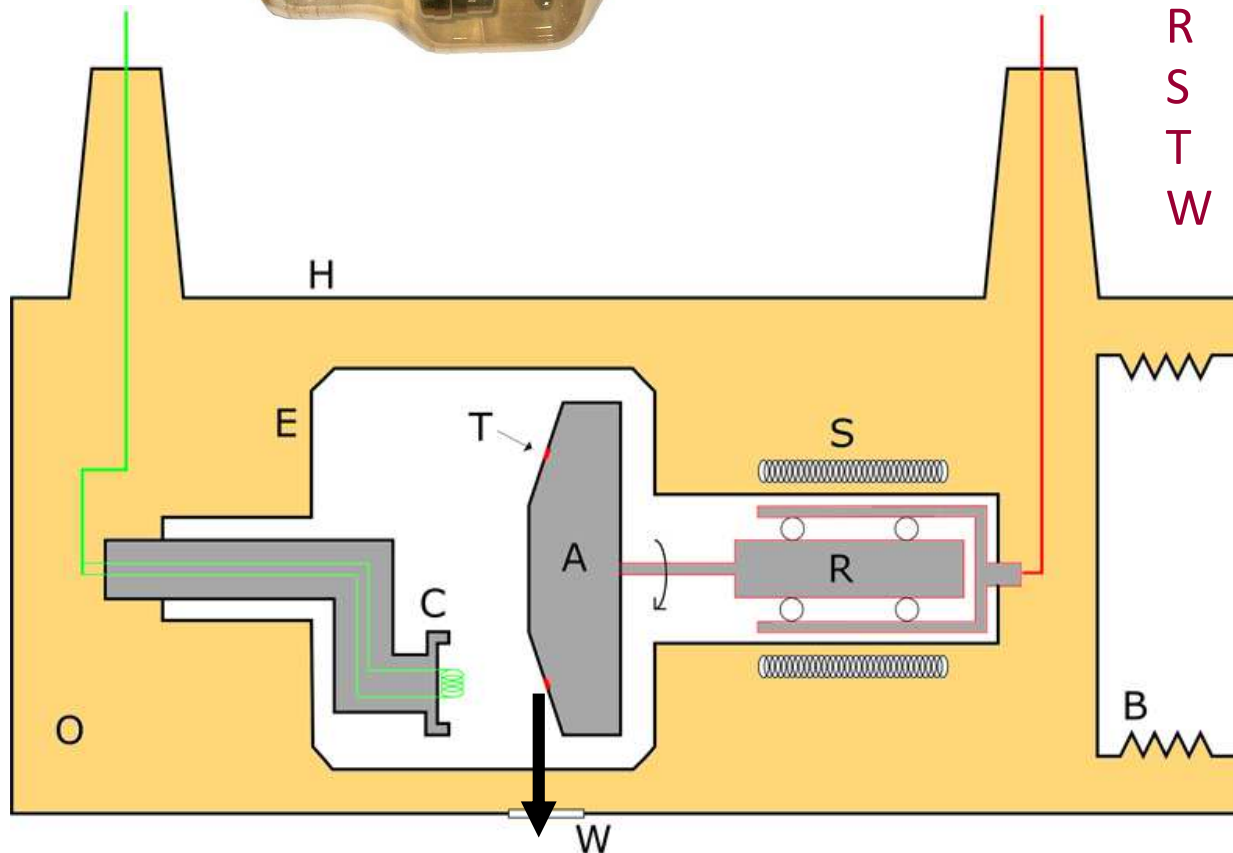


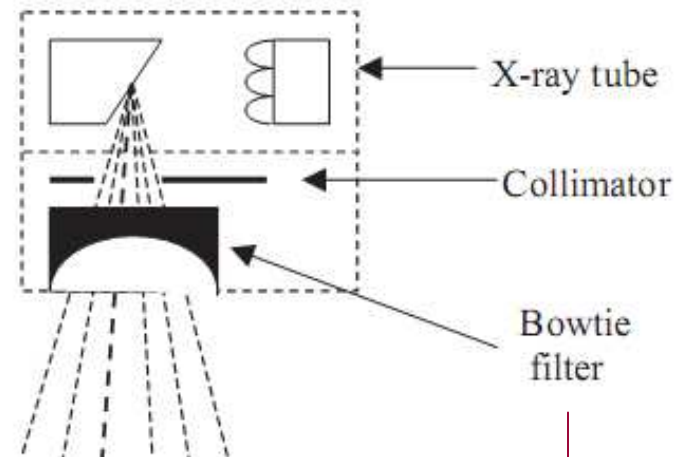
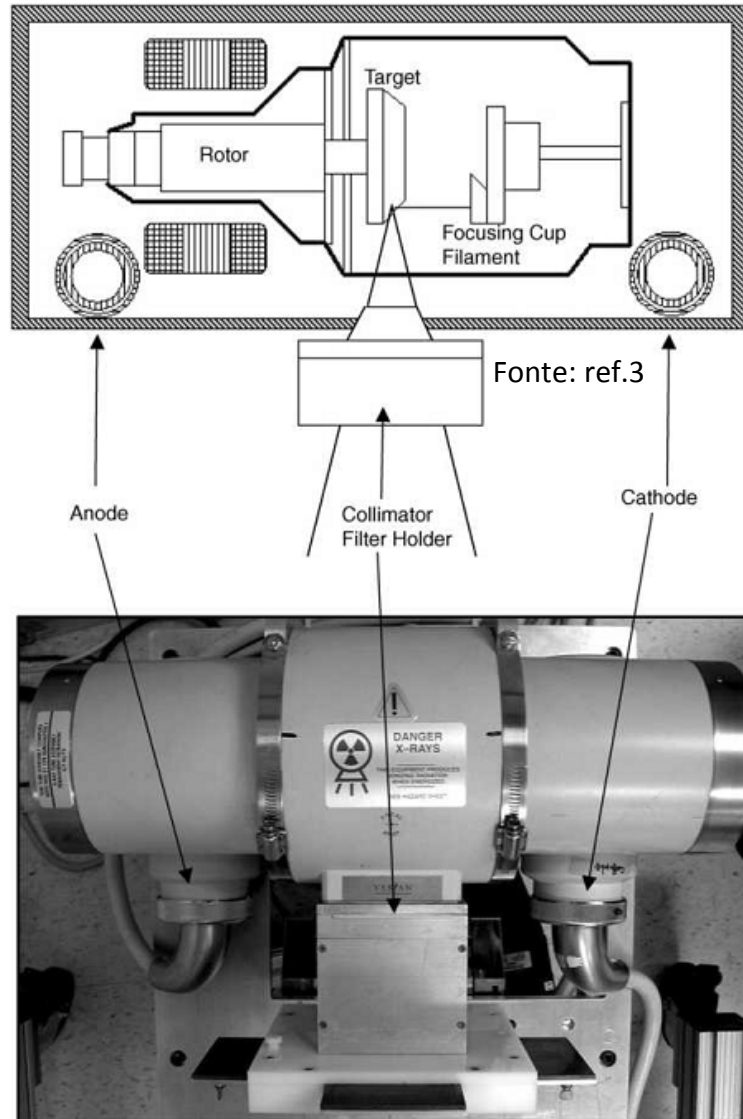
O tubo de raios-X: constituição



- A Ânodo
- B Foles de expansão do óleo
- C Cátodo e filamento
- E Invólucro do tubo (evacuado)
- H Caixa do Tubo
- O Óleo isolador
- R Rotor (motor de indução)
- S Estator (motor de indução)
- T Alvo de tungsténio
- W Janela do tubo (Al ou Be)



O tubo de raios-X: constituição

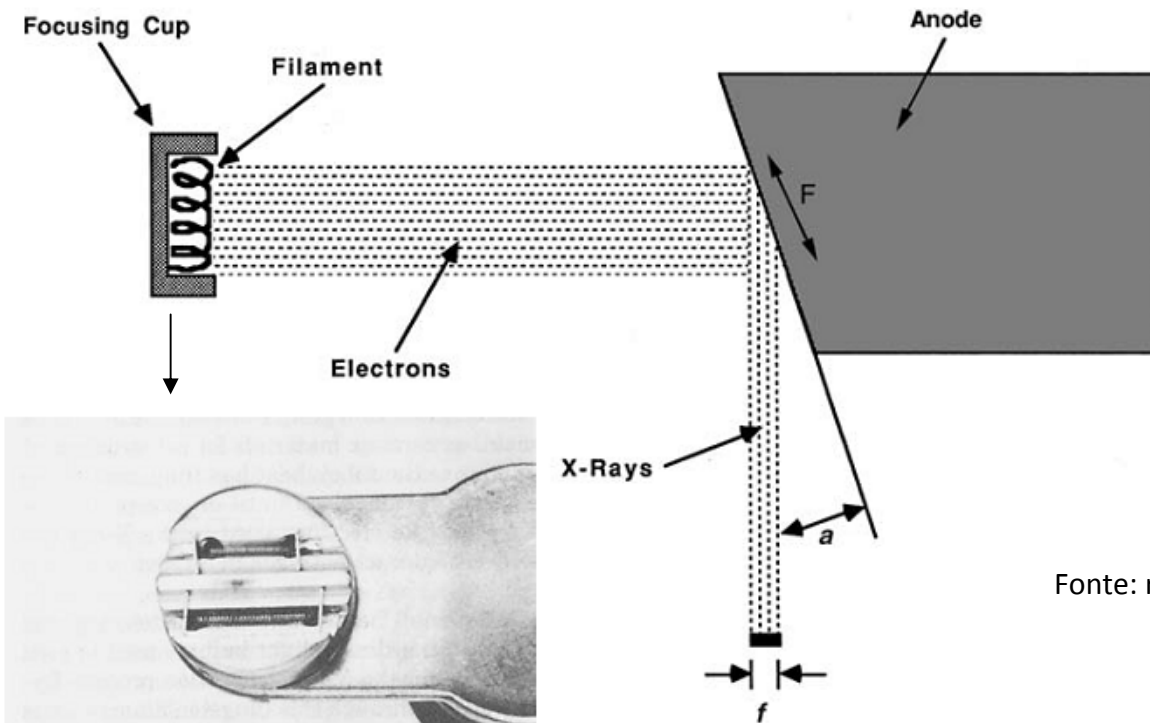


Define os limites do feixe

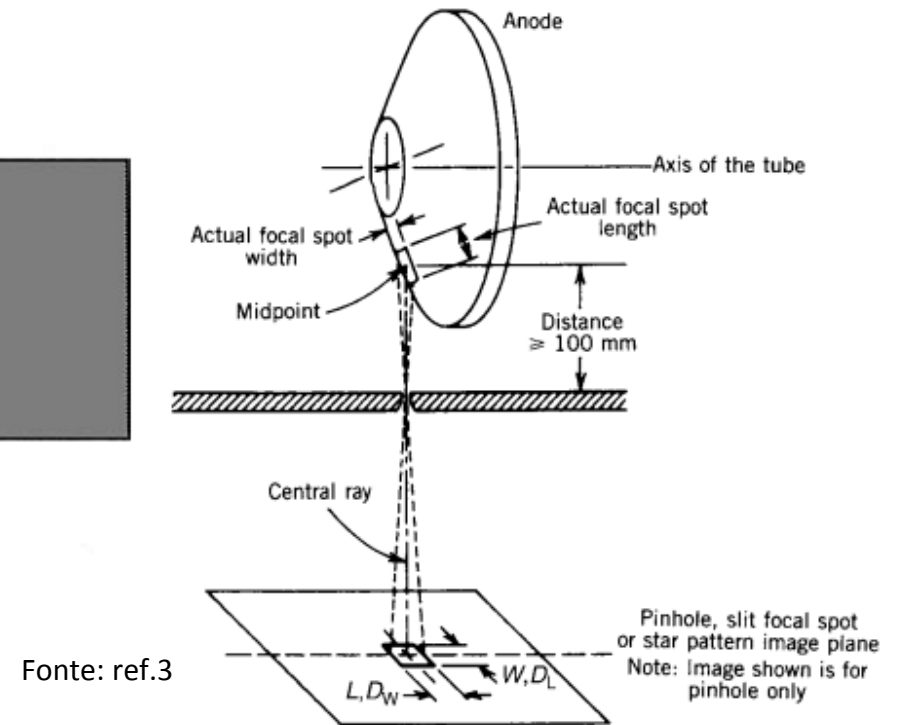
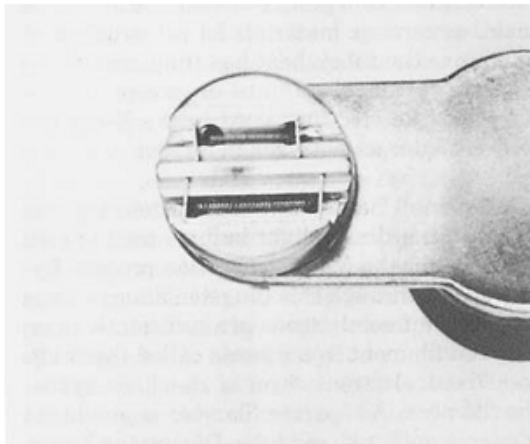
Para adaptar a intensidade do feixe à forma anatómica do paciente
(mais grosso no meio)

O tubo de raios-X: focagem

Princípio da focagem linear



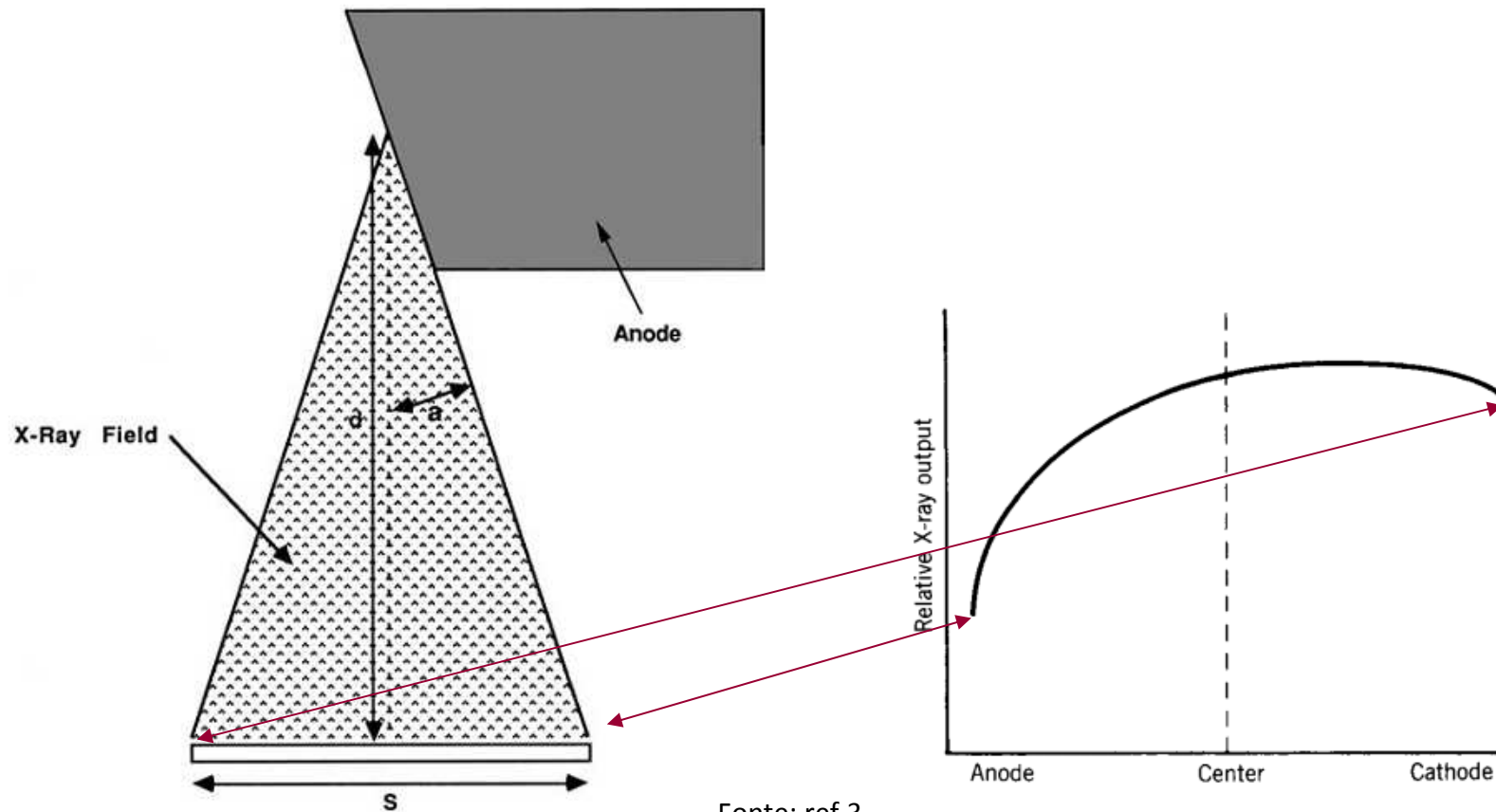
$$f = F \sin(a)$$



Fonte: ref.3

Princípio de medida do tamanho do foco usando uma câmara de "pinhole"

O tubo de raios-X: campo iluminado

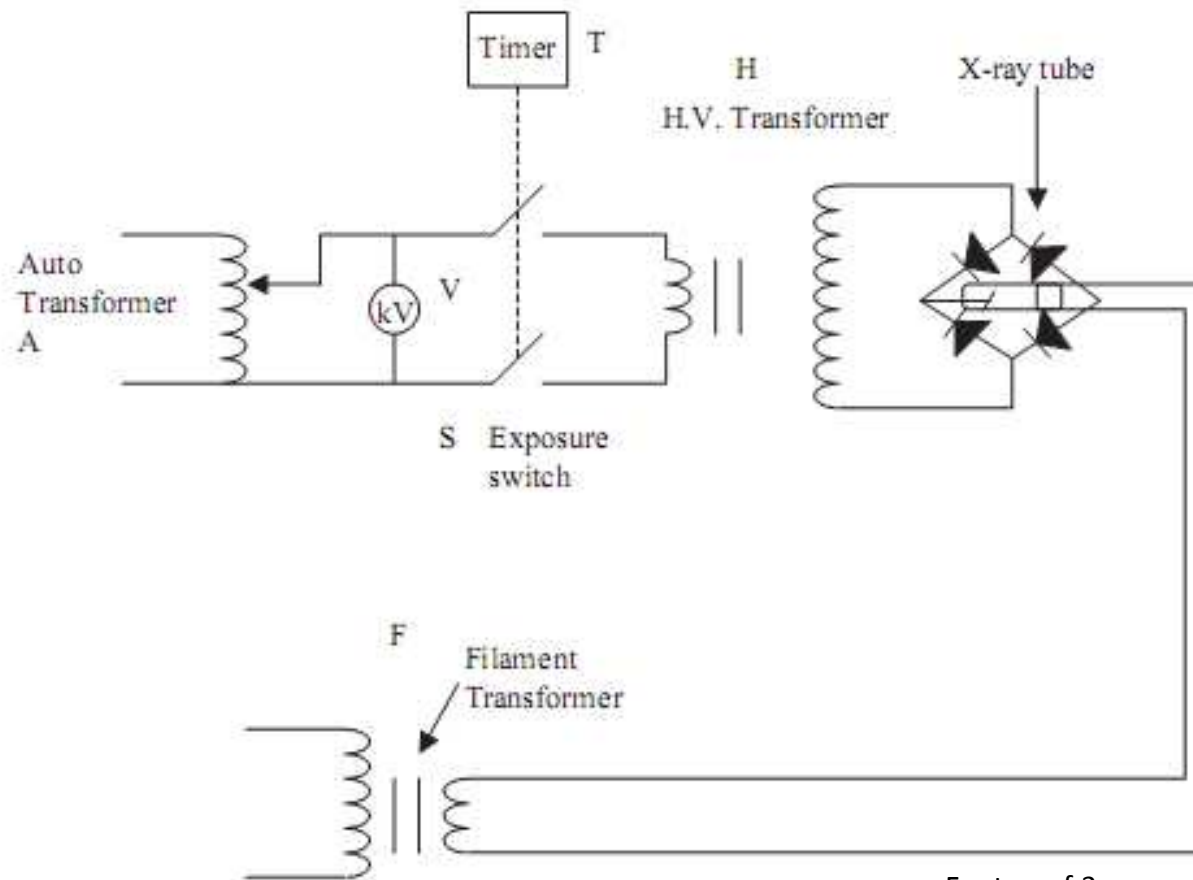


Tamanho de campo

$$s = 2d \tan(a)$$

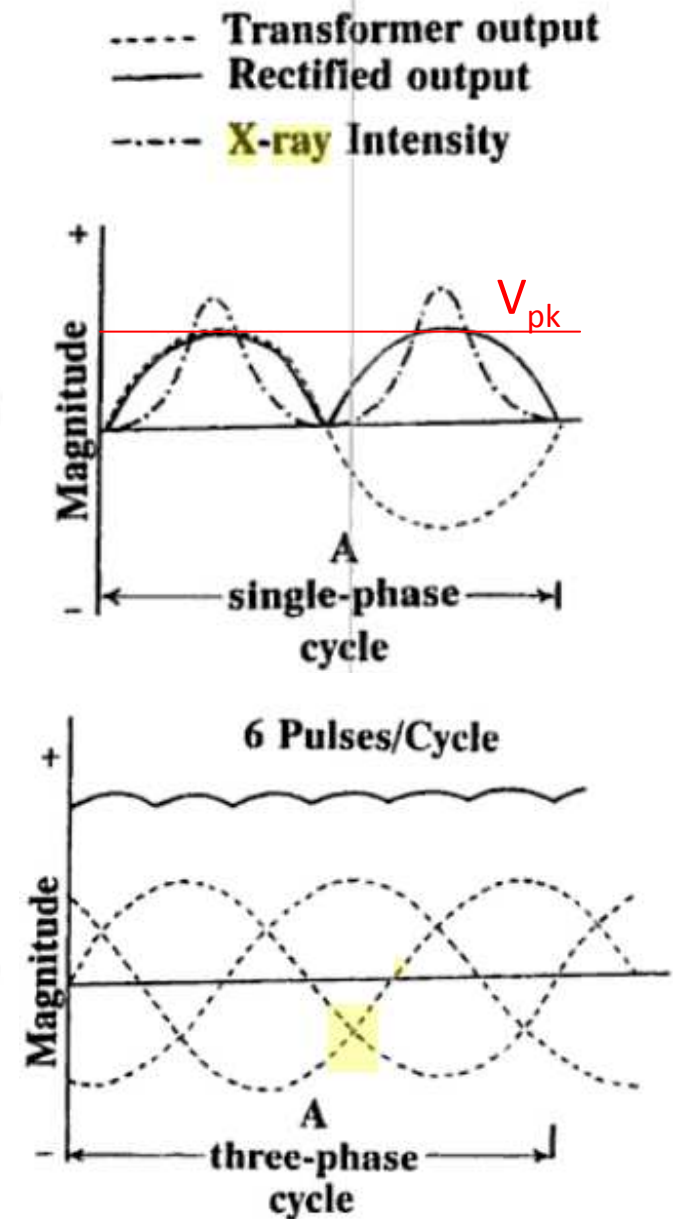
Efeito de Heel

O tubo de raios-X: esquema eléctrico



Fonte: ref.3

Provavelmente obsoleto.
Mas o princípio mantém-se.



O tubo de raios-X: limite térmico de funcionamento

Potencia depositada no ânodo (rotativo...)

$$P = K \times V_{pk} \times i$$

$$E = P \times t$$

P = potência em Watt

E = Energia por disparo em Joule

K = factor que depende do tipo de
alimentação

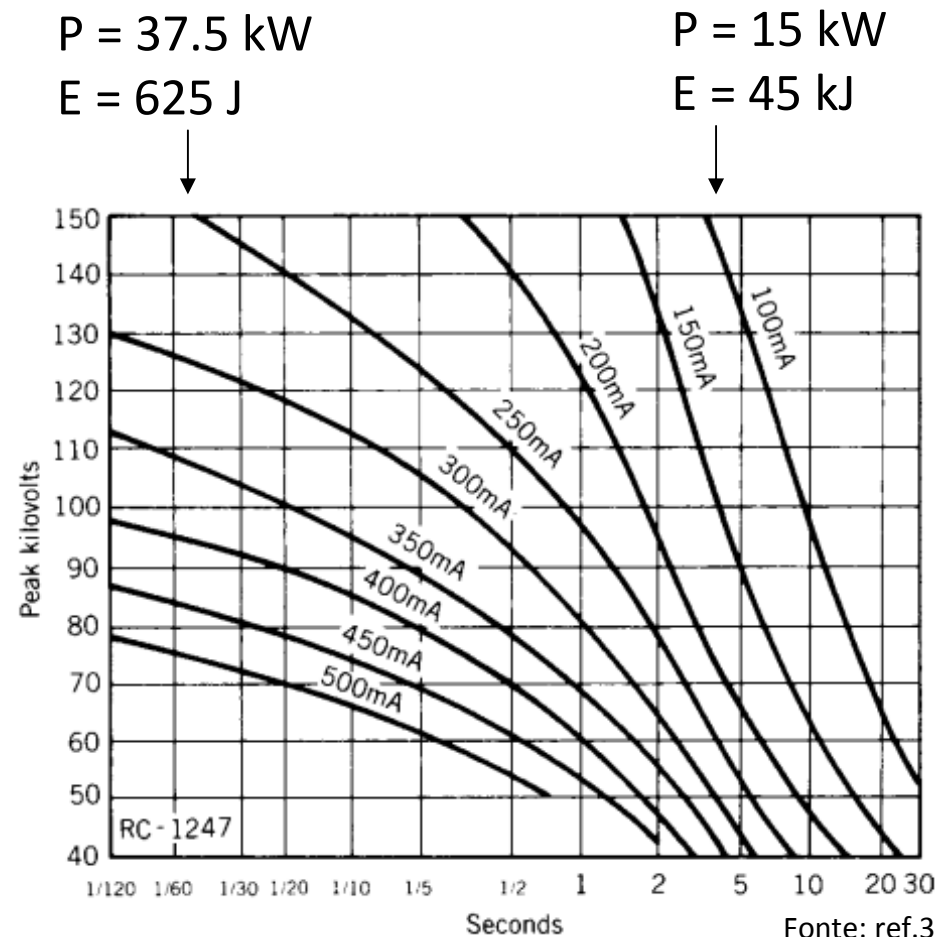
monofásico: 0.74

trifásico: 1

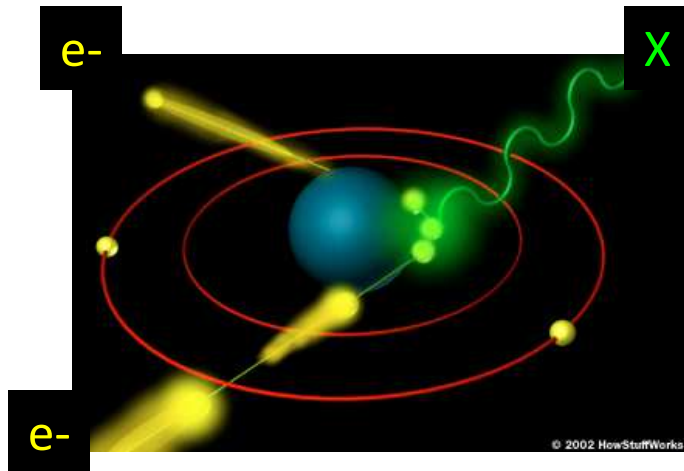
V_{pk} = tensão de pico

i = corrente eficaz

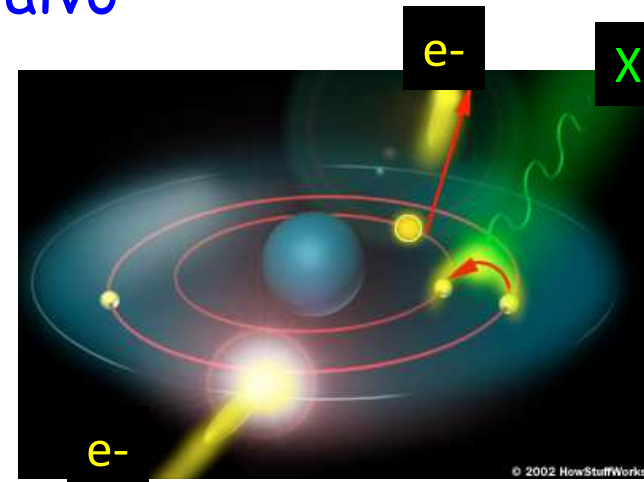
t = duração do disparo



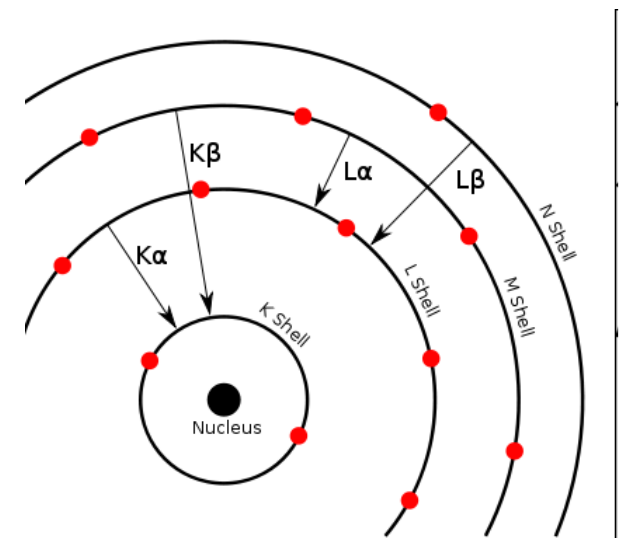
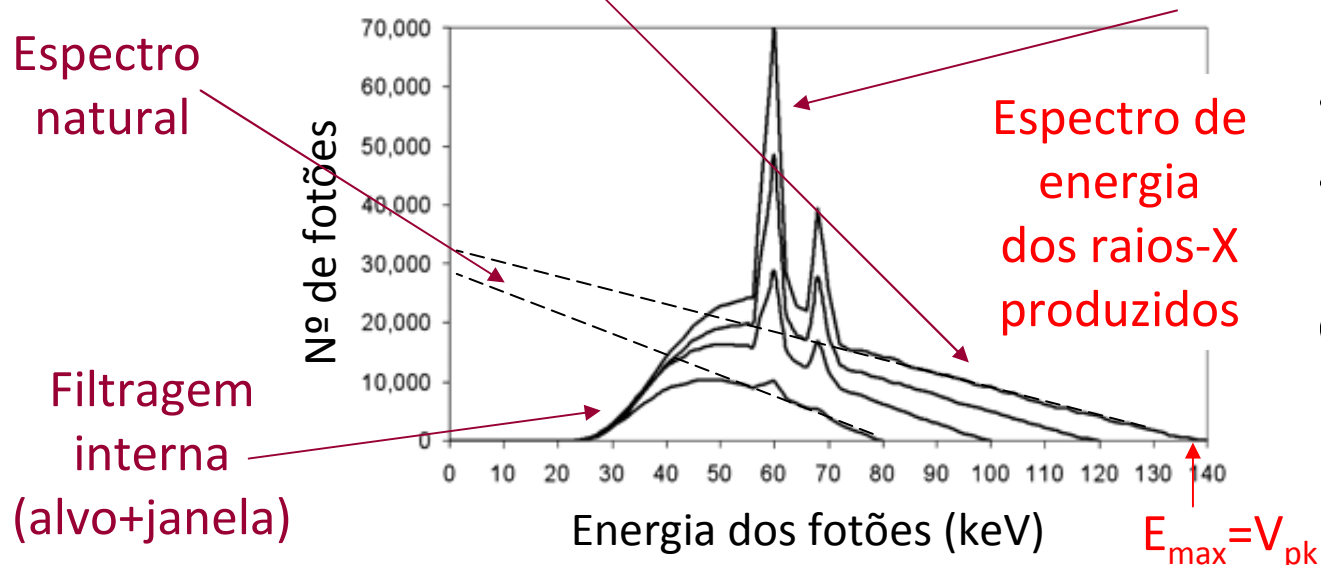
Interacção entre os electrões e o alvo



Radiação de travagem
("Bremsstrahlung")



Radiação característica
do átomo atingido (tungsténio)



Semi-camada e energia efectiva

A semi-camada é a espessura de material necessária para reduzir a intensidade do feixe a metade do seu valor inicial. Depende do material.

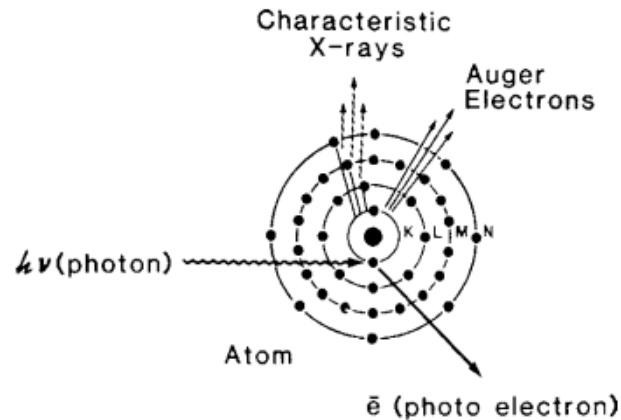
X-ray energy (keV)	HVL, muscle (cm)	HVL, bone (cm)
30	1.8	0.4
50	3.0	1.2
100	3.9	2.3
150	4.5	2.8

A qualidade espectral de um feixe pode ser expressa em termos da sua semi-camada de Al.

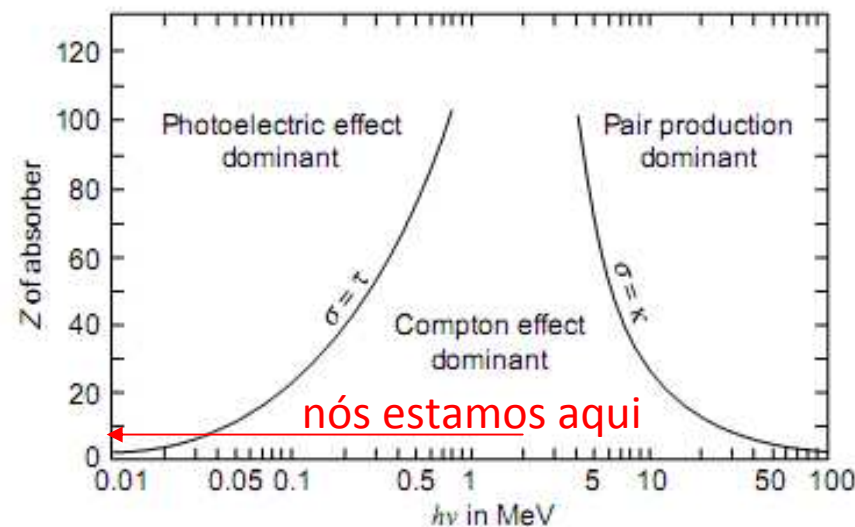
A energia efectiva de um feixe policromático é a energia de um feixe monocromático que teria a mesma semi-camada de Al. Por exemplo, para alvo de W a $150\text{kV}_{\text{pk}} \sim 68\text{keV}$

Interacção entre os fotões e a matéria

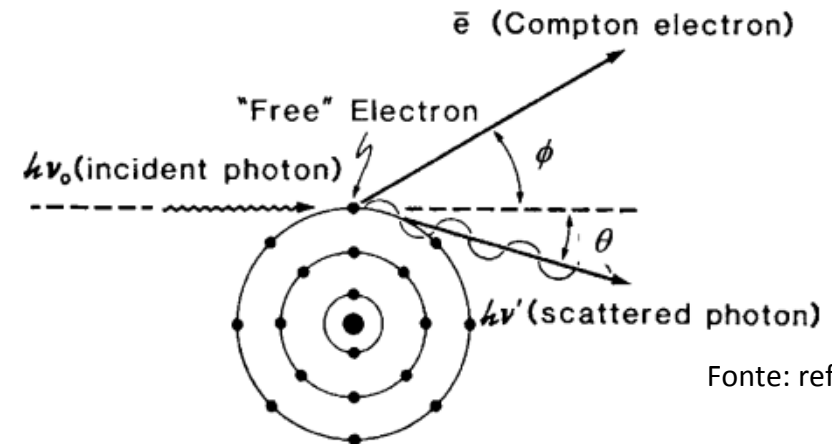
Efeito fotoeléctrico



Fonte: ref.3

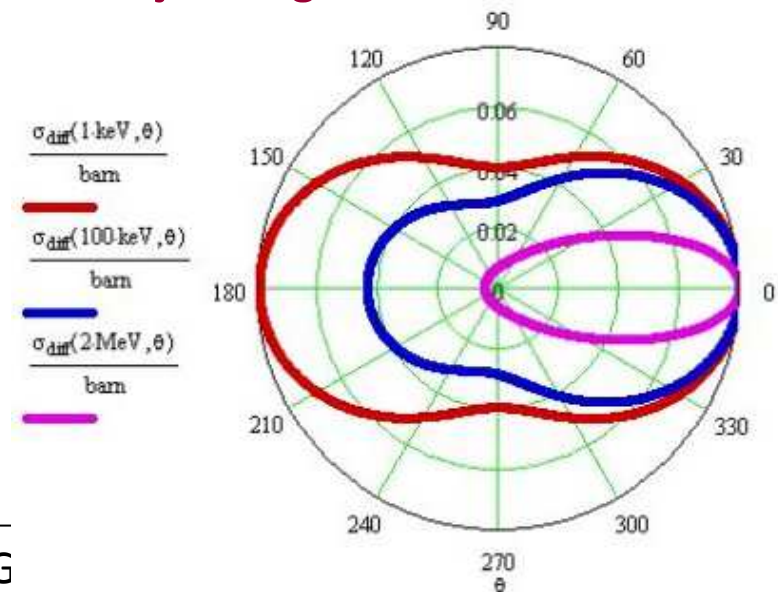


Difusão de Compton ou inelástica ou incoerente



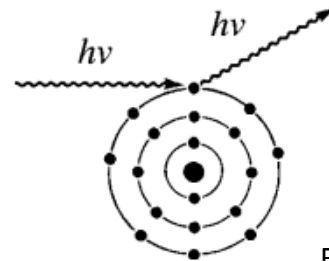
Fonte: ref.3

Distribuição angular do fotão difundido



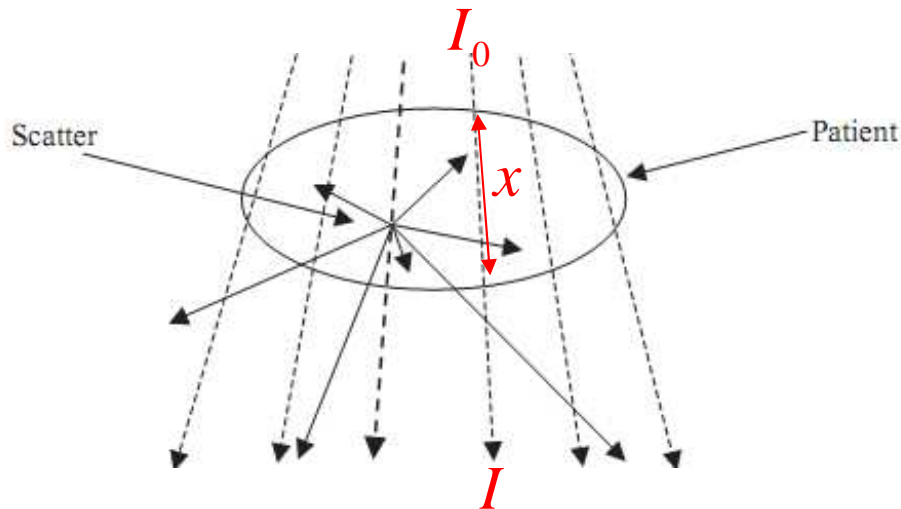
Interacção entre os fotões e a matéria

Difusão de Rayleigh ou elástica ou coerente
(pouco importante)



Fonte: ref.3

Penetração dos fótons no organismo



$$I/I_0 = e^{-\mu x} = e^{-(\mu/\rho)(\rho x)} \quad (\text{para cada raio})$$

$$\mu = \mu_{\text{fotoelétrico}} + \mu_{\text{Compton}} + \mu_{\text{Rayleigh}}$$

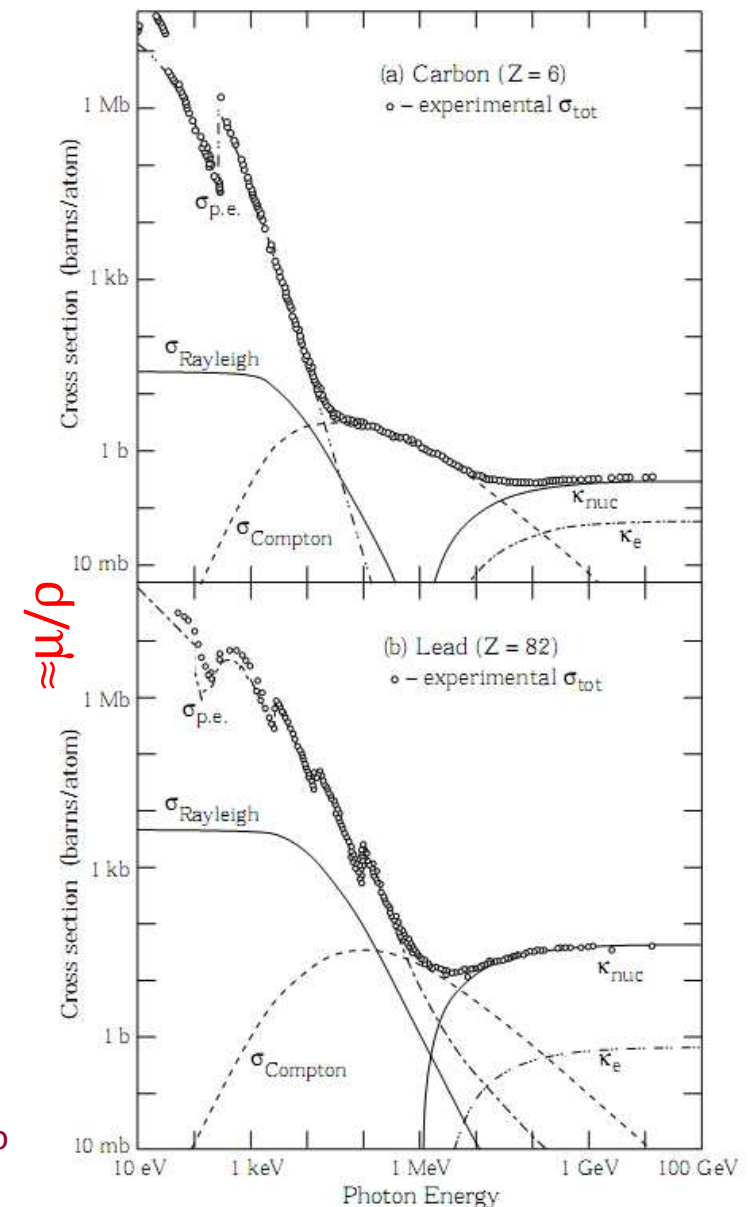
μ = coeficiente de atenuação linear [cm^{-1}]

x = espessura atravessada [cm]

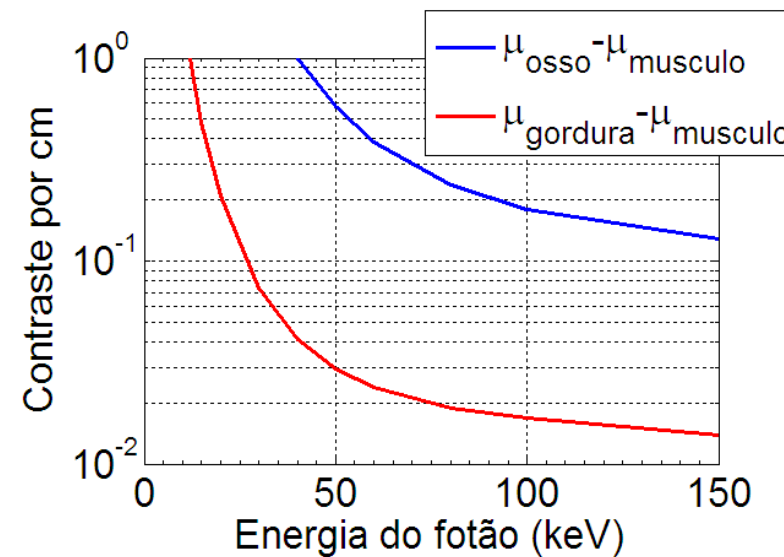
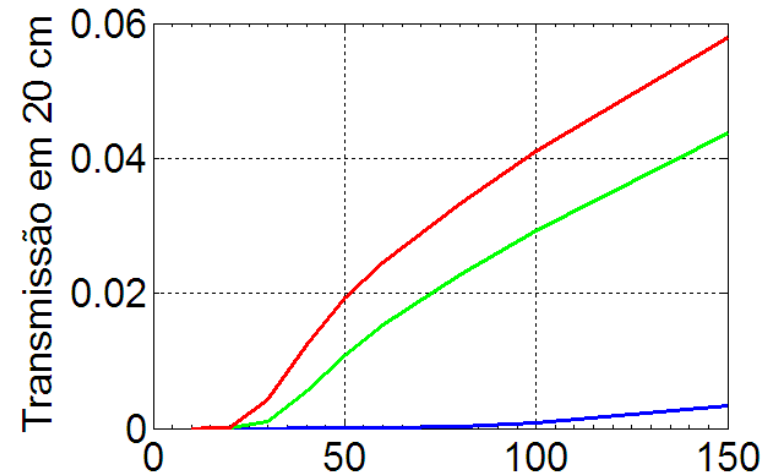
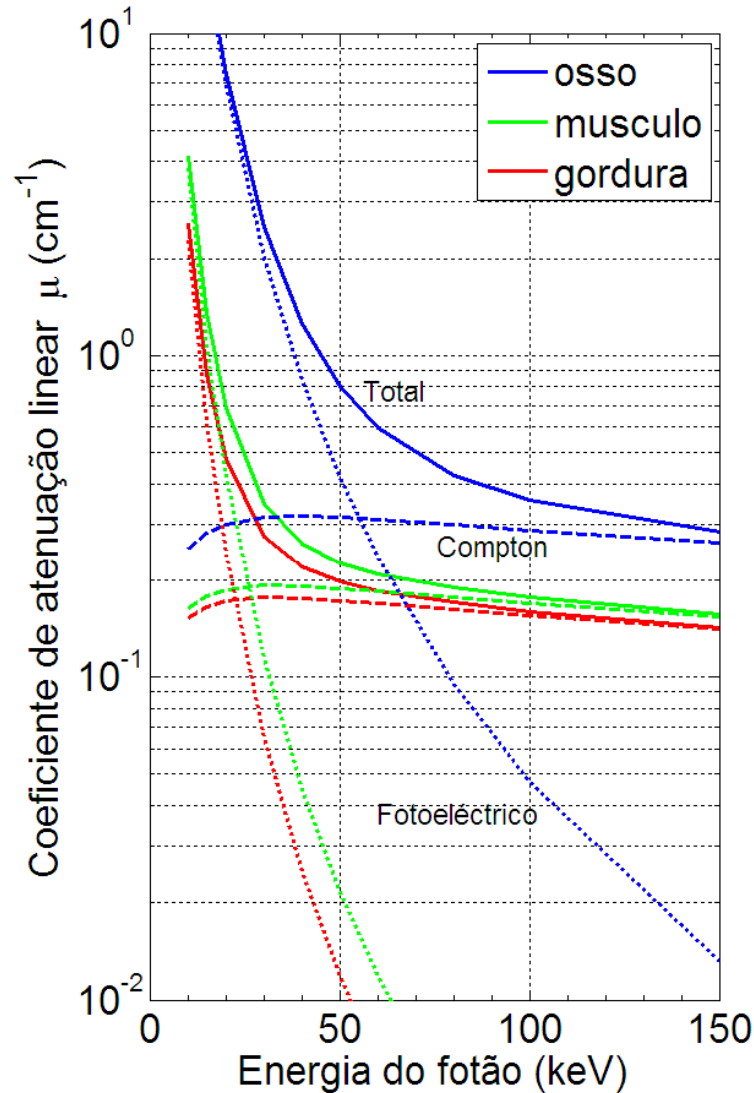
μ/ρ = coeficiente de atenuação mássica [cm^2/g]

ρx = espessura mássica [g/cm^2]

Nota importante: I é a intensidade do feixe de fótons que não interagem, não é o mesmo que a intensidade do feixe que emerge do paciente, pois muitos fótons são difundidos e não absorvidos



Transmissão vs. contraste

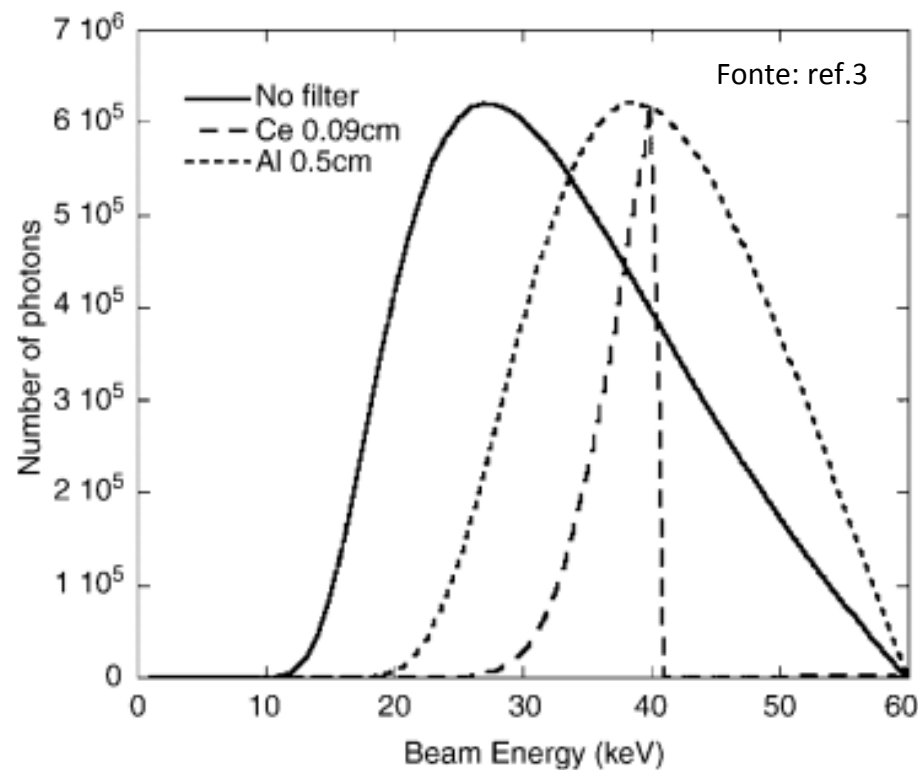


Dados obtidos em

<http://physics.nist.gov/PhysRefData/XrayMassCoef/cover.html><http://physics.nist.gov/PhysRefData/Xcom/Text/XCOM.html>

Filtragem

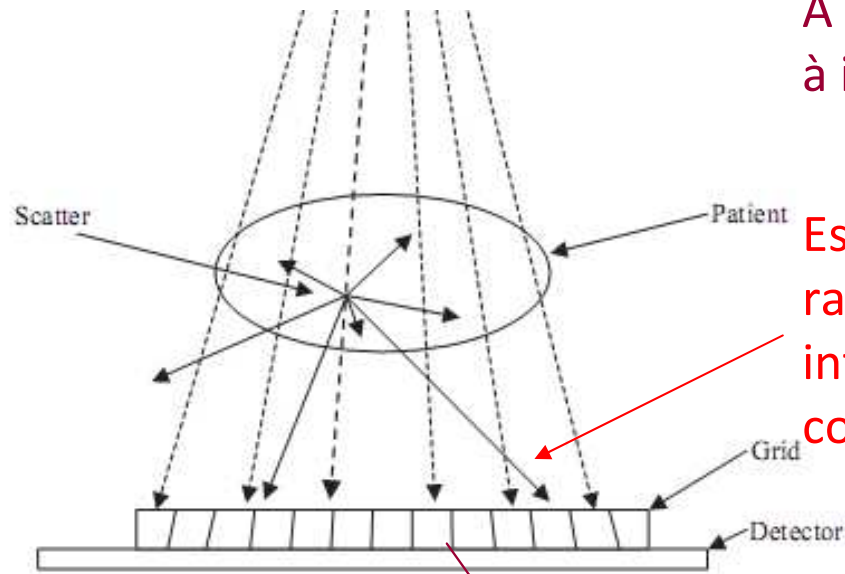
Os fótons de baixa energia são absorvidos totalmente no paciente e logo não contribuem para a imagem, mas contribuem para a dose absorvida. Assim, estes fótons devem ser removidos do feixe através da interposição de **filtros “endurecedores”**.



Filtragem padrão

- $< 50 \text{ kV}_{pk}$: 0.5 mm Al
- $50 \text{ a } 70 \text{ kV}_{pk}$: 1.5 mm Al
- $> 70 \text{ kV}_{pk}$: 2.5 mm Al

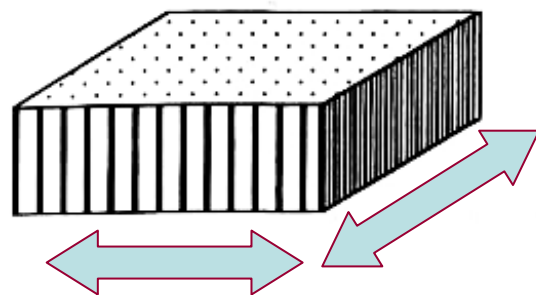
Grelha anti-difusão



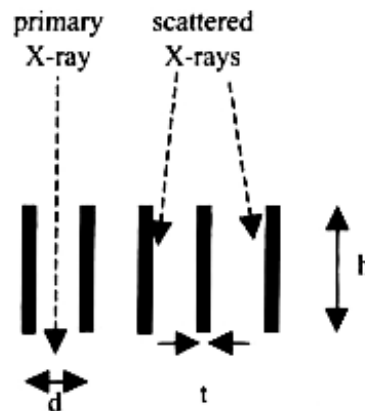
A grelha fixa a distancia fonte-imagem devido à inclinação das suas paredes

Estes fotões (80% a 90% do total numa radiografia torácica) estão “fora do sítio” e introduzem um fundo difuso, reduzindo o contraste da imagem

Fonte: ref.1



Movimento oscilante



Características típicas

$$4 \leq d / t \leq 16$$

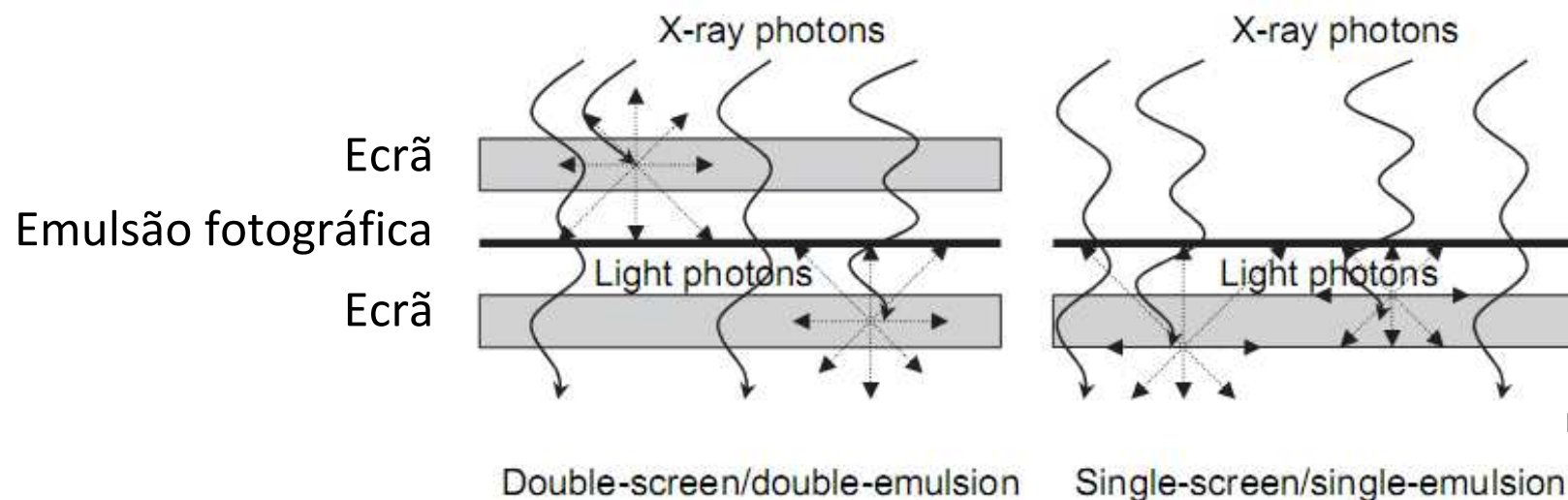
$$25 \leq \frac{1}{d + t} \leq 60 \text{ cm}^{-1}$$

$$F = I_{\text{grelha}} / I_{\text{sem grelha}}$$

$$F = \text{"Bucky factor"}$$

Ecrã intensificador

Constituído por compostos cintiladores de nº atómico elevado, emite luz quando absorve um raio-X, o que aumenta muito a sensibilidade aos raios-X do detector.



Fonte: ref.3

Table 1. Physical Properties of Some Common Phosphors^a

Phosphor	Atomic Number of Heaviest Element	K-Edge, keV	Conversion Efficiency, %	Light Emission Spectrum
Calcium tungstate, CaWO_4	74	69.5	3.5	Blue (340–540 nm)
Barium strontium sulfate, $\text{BaSO}_4\text{:Eu}$	56	37.4	6	Blue (330–430 nm)
Barium fluorochloride, BaFCl:Eu	56	37.4	13	Blue (350–450 nm)
Gadolinium oxysulfide, $\text{Gd}_2\text{O}_2\text{S:Tb}$	64	50.2	15	Green (400–650 nm)
Lanthanum oxybromide, LaOBr	57	38.9	13	Blue (360–620 nm)
Lanthanum oxysulfide, $\text{La}_2\text{O}_2\text{S:Tb}$	57	38.9	12	Green (480–650 nm)
Yttrium oxysulfide, $\text{Y}_2\text{O}_2\text{S:Tb}$	39	17.0	18	Blue (370–630 nm)

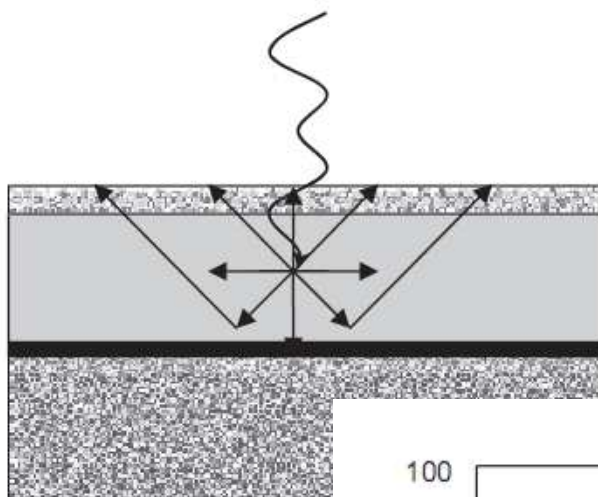
Ecrã intensificador

Protective layer ~ 0.02 mm

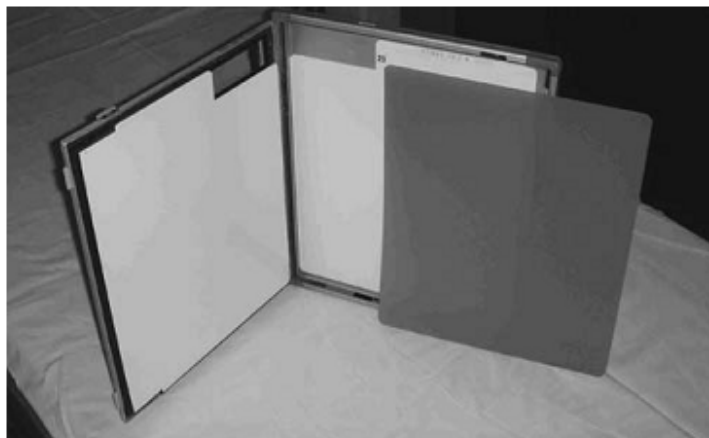
Phosphor layer ~ 0.05 – 0.3 mm

Reflecting layer ~ 0.03 mm

Base ~ 0.2 – 0.3 mm



Fonte: ref.3



“cassete” radiográfica

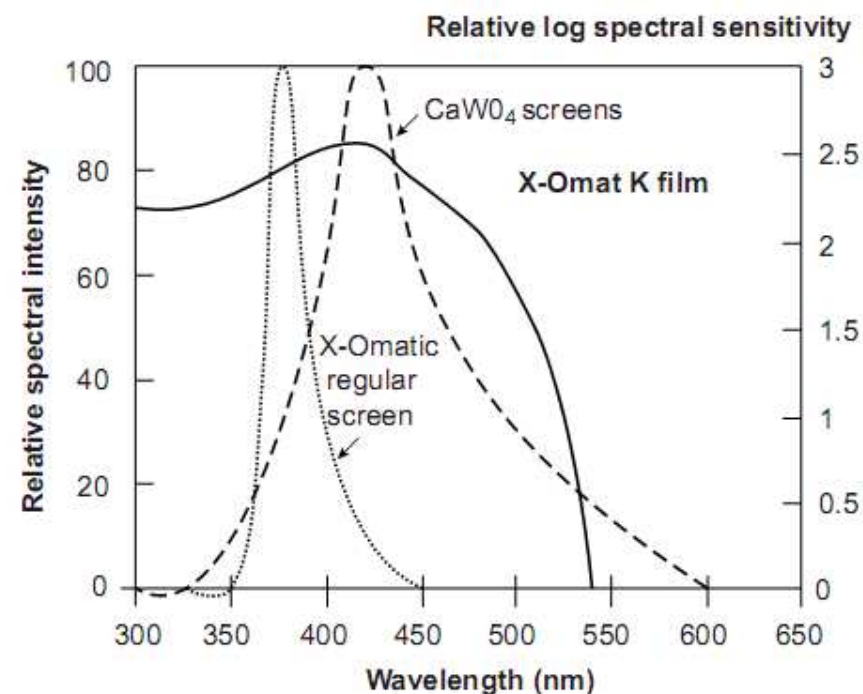
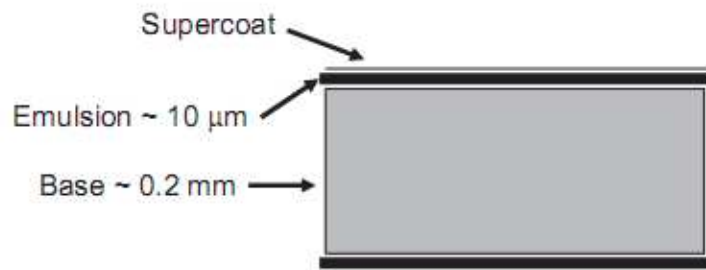


Figure 9. Relative spectral match of Kodak X-Omat K film with ultraviolet (UV) and blue-emitting screens. (Courtesy of Dr. R. Dickerson of Eastman Kodak Company.)

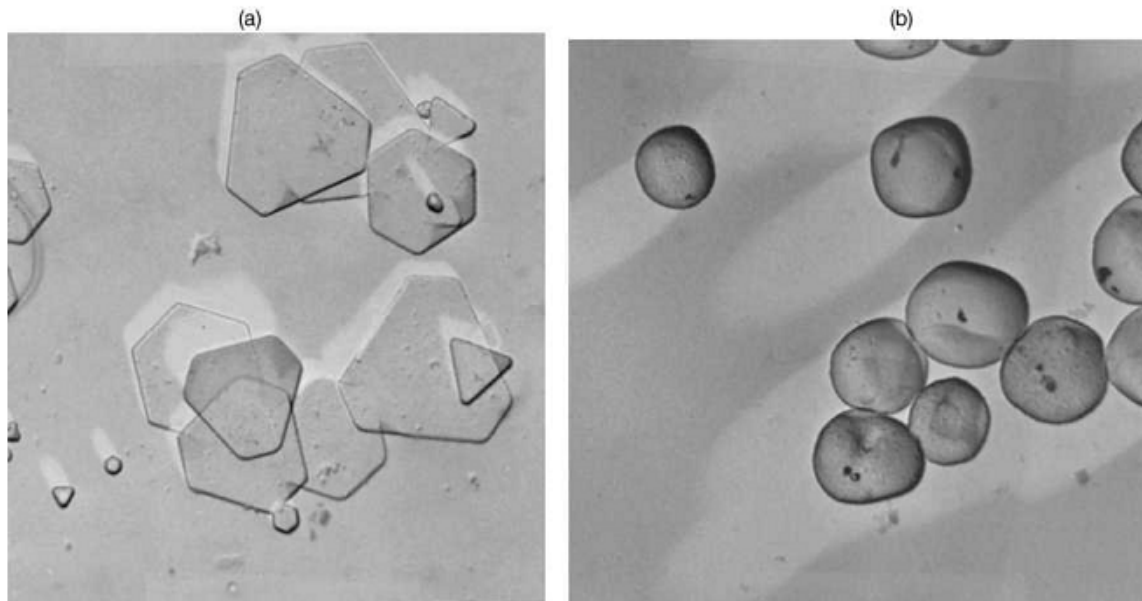
Emulsão fotográfica



A probabilidade dos fotões interagirem aqui é quase nula, daí o ecrã intensificador

Figure 4. A cross-sectional view of an X-ray film.

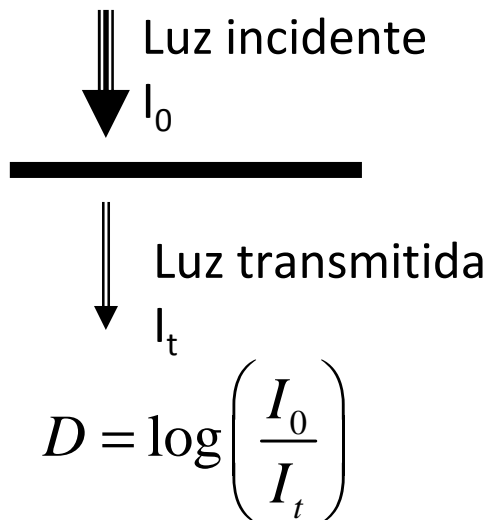
Fonte: ref.3



Cristais de halogeneto de prata ($\text{AgBr} + \text{AgCl}$ ou AgI) em emulsão (gelatina)

Emulsão fotográfica

Densidade óptica D



Corresponde à sensação visual de luminosidade

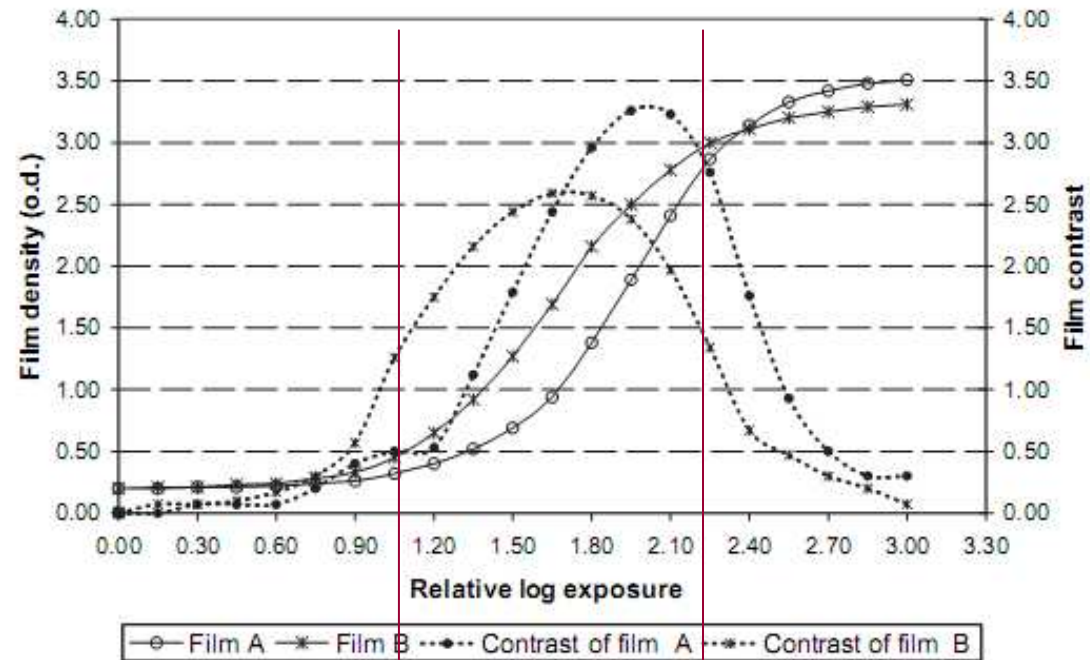
Contraste

$$\gamma = \frac{D_2 - D_1}{\log(E_2) - \log(E_1)} \Bigg|_{\max}$$

 E = Exposição

Comparison of two films using light sensitometry

Fonte: ref.3



A relação entre exposição e D é muito não-linear excepto num intervalo estreito de exposições. Fora deste intervalo, o contraste é baixo. Este é um grave inconveniente técnico da emulsão.

Radiografia digital = detector electrónico

Fonte: ref.4

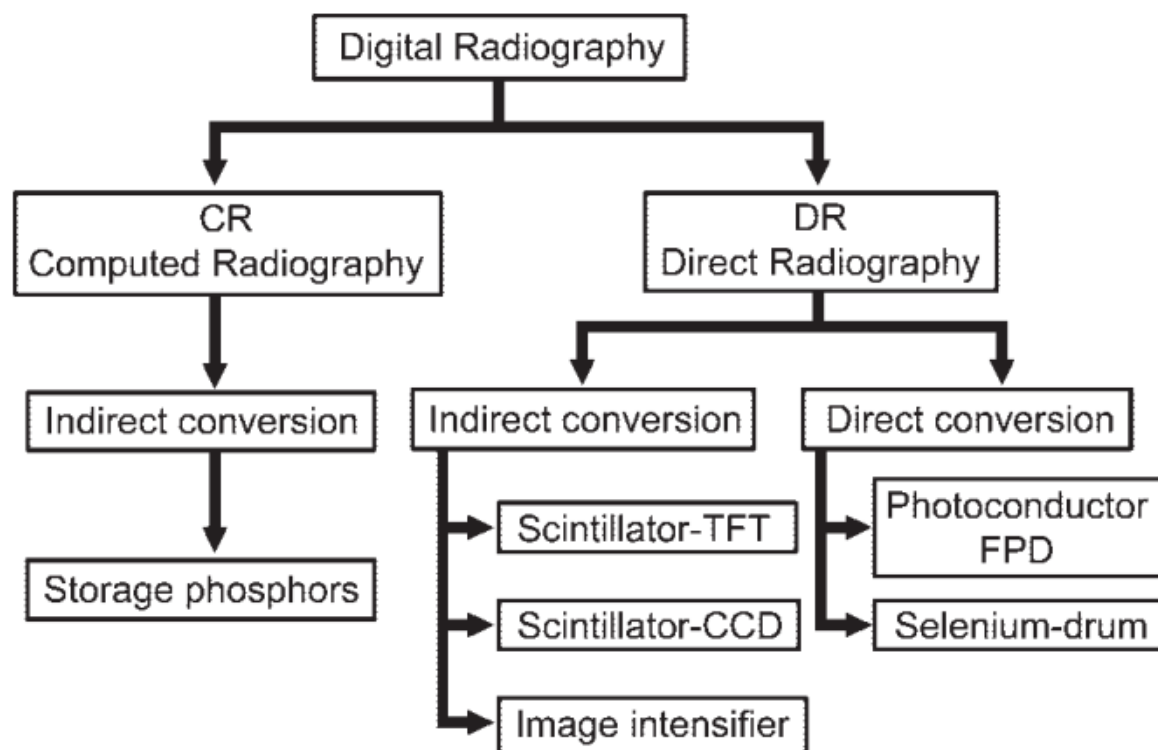


Figure 2. Chart provides a systematic overview of various types of digital detectors. *CCD* = charge-coupled device, *FPD* = flat-panel detector, *TFT* = thin-film transistor.

Table 1
Timetable of Developments in Digital Radiography

Year	Development
1977	Digital subtraction angiography
1980	Computed radiography (CR), storage phosphors
1987	Amorphous selenium-based image plates
1990	Charge-coupled device (CCD) slot-scan direct radiography (DR)
1994	Selenium drum DR
1995	Amorphous silicon-cesium iodide (scintillator) flat-panel detector
1995	Selenium-based flat-panel detector
1997	Gadolinium-based (scintillator) flat-panel detector
2001	Gadolinium-based (scintillator) portable flat-panel detector
2001	Dynamic flat-panel detector fluoroscopy-digital subtraction angiography

Radiografia digital = detector electrónico

Fonte: ref.4

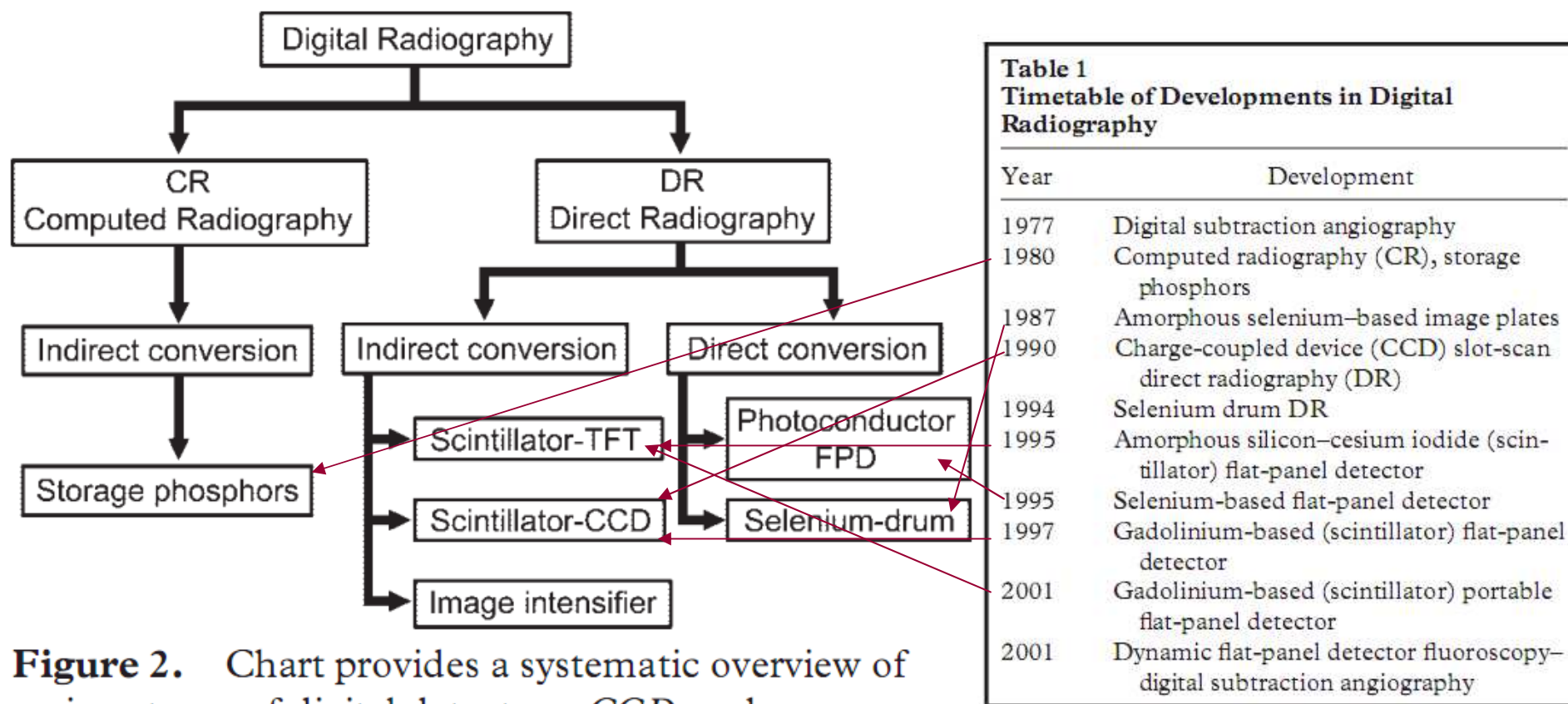
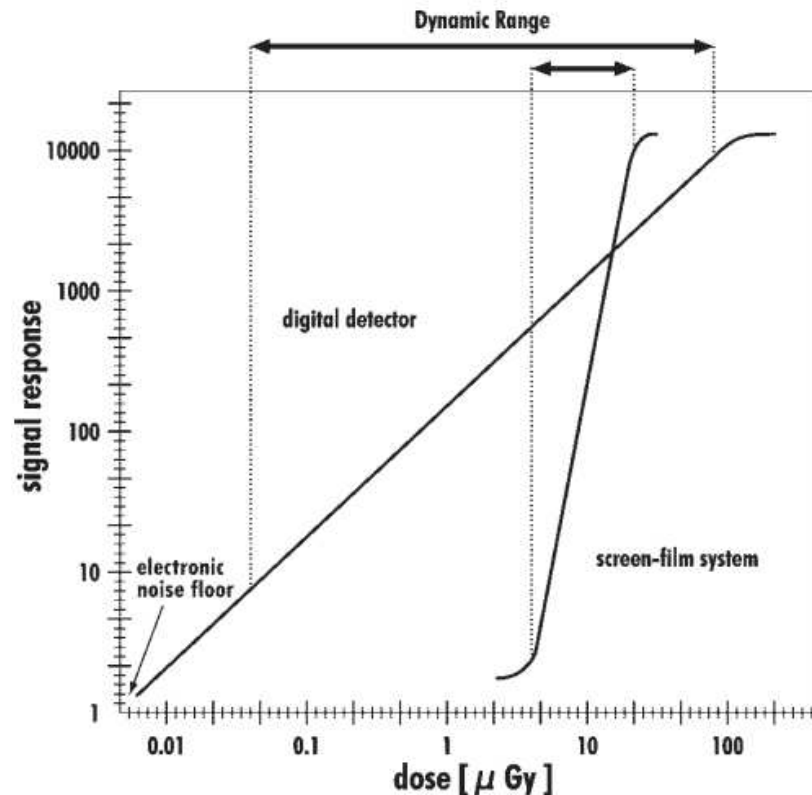


Figure 2. Chart provides a systematic overview of various types of digital detectors. *CCD* = charge-coupled device, *FPD* = flat-panel detector, *TFT* = thin-film transistor.

Radiografia digital = detector electrónico



Fonte: ref.4

Vantagens:

- extraordinária linearidade
- suporte digital
- tratamento de imagem

Desvantagens

- caro
- suporte digital
- alguns sistemas são fixos

Figure 8. Graph illustrates the dynamic range of screen-film combinations and digital detectors. Screen-film systems have only a limited tolerance for radiation exposure, resulting in a steep and tight curve, whereas the curve for digital detectors is less steep and covers a wider range. As a result, an optimal signal response will occur over a wider exposure range with digital detectors than with screen-film combinations.

Computed radiography (CR) /image plate

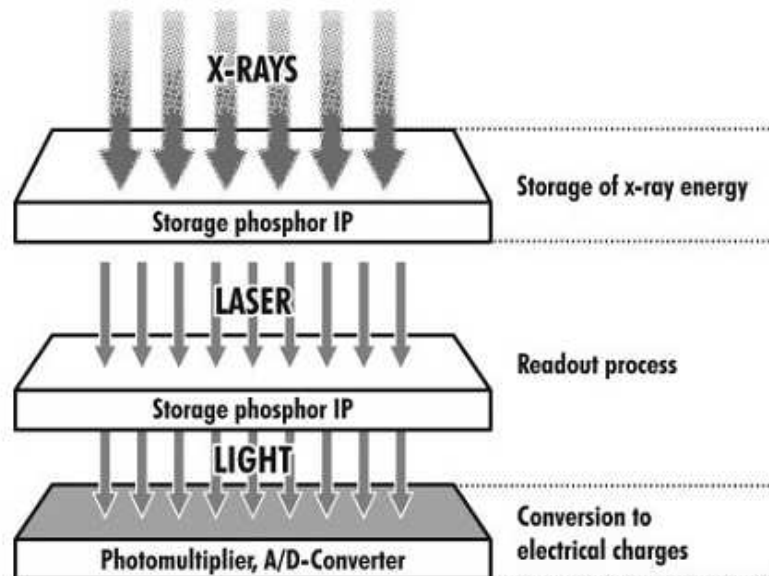
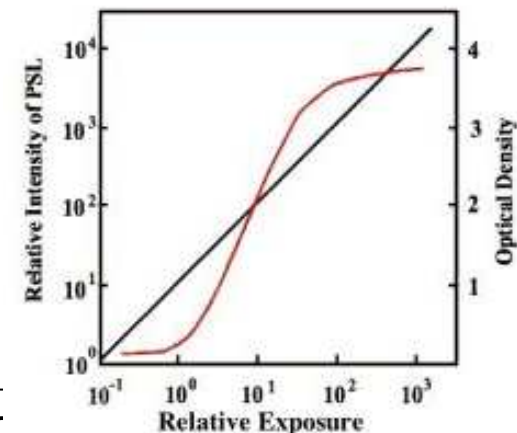
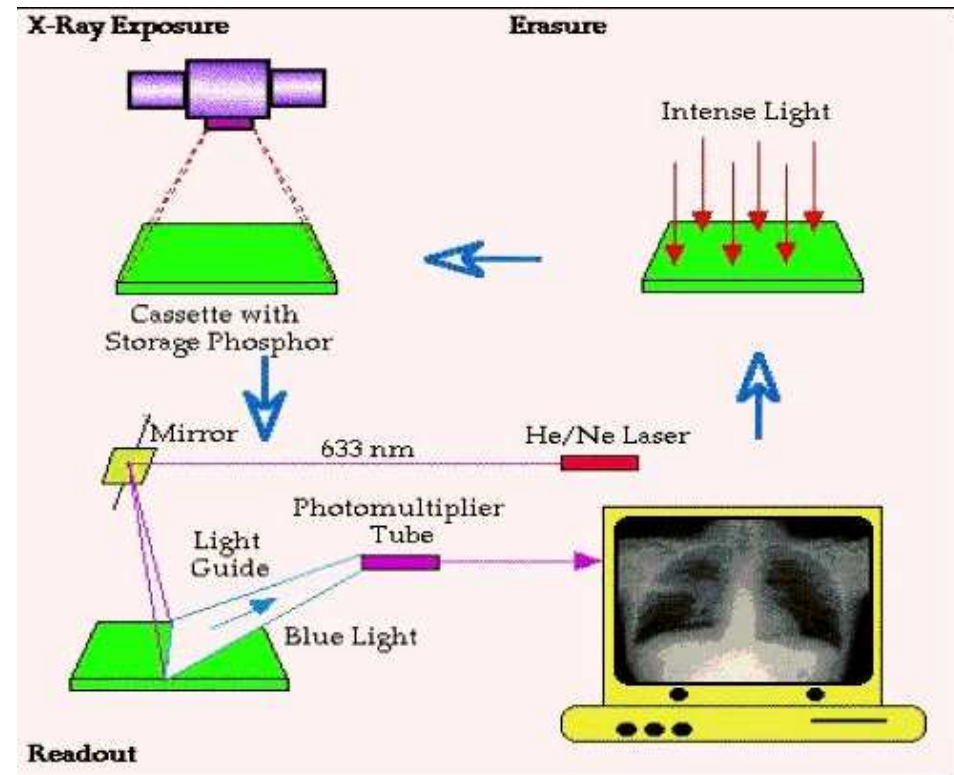


Figure 3. Drawing illustrates a CR system based on storage-phosphor image plates. Image generation is separated into two steps. First, the image plate (*IP*) is exposed to x-ray energy, part of which is stored within the detective layer of the plate. Second, the image plate is scanned with a laser beam, so that the stored energy is set free and light is emitted. An array of photomultipliers collects the light, which is converted into electrical charges by an analog-to-digital (*A/D*) converter.

Fonte: ref.4



Fonte: ref.5

Conversão directa: selénio + electrónica

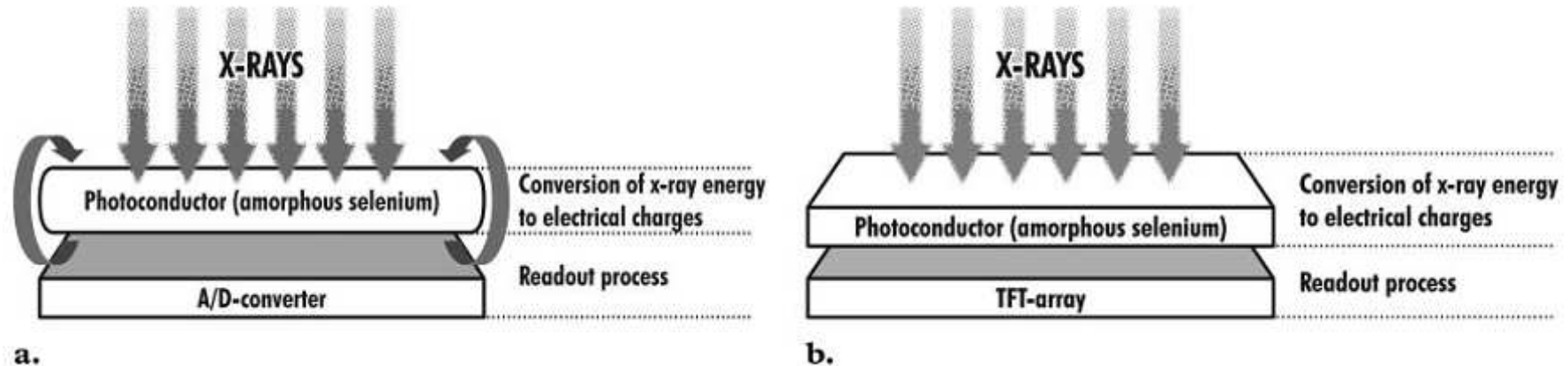


Figure 4. Amorphous selenium-based direct conversion DR systems. **(a)** Drawing illustrates a selenium drum-based system. A rotating selenium-dotted drum with a positive electrical surface charge is exposed to x-rays. Alteration of the charge pattern of the drum surface is proportional to the incident x-rays. The charge pattern is then converted into a digital image by an analog-to-digital (A/D) converter. **(b)** Drawing illustrates a selenium-based flat-panel detector system. Incident x-ray energy is directly converted into electrical charges within the fixed photoconductor layer and read out by a linked TFT array beneath the detective layer.

Fonte: ref.4

Conversão indirecta: cintilador + fotodetector CCD

Fonte: ref.4

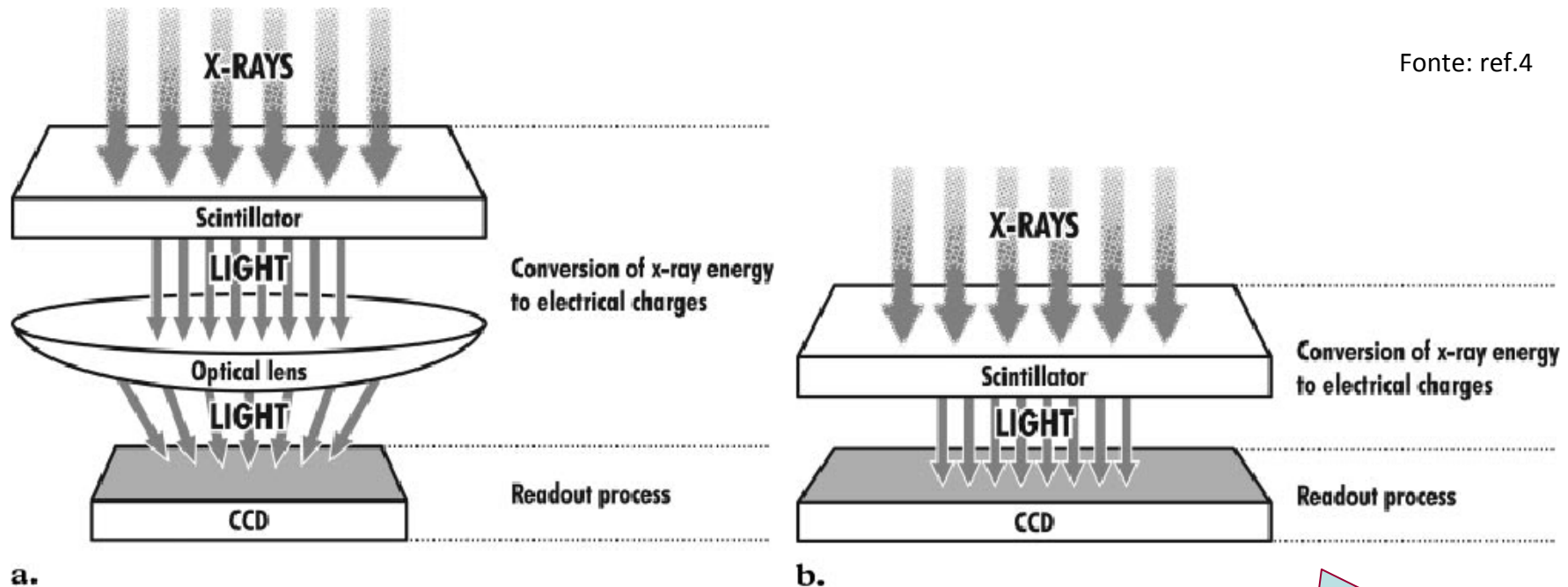


Figure 5. CCD-based indirect conversion DR system. (a) Drawing illustrates a lens-coupled CCD-based system. The incident x-ray energy is converted into light by a scintillator. The emitted light has to be bundled by an optical lens to fit the size of the CCD chip, which subsequently converts the light energy into electrical charges. (b) Drawing illustrates a slot-scan CCD-based system. The patient is scanned with a fan-shaped beam of x-rays. A simultaneously moving CCD detector of the same size collects the emitted light and converts the light energy into electrical charges.

Varrimento

Conversão indirecta: cintilador + matriz de fotodiodos+TFT

Fonte: ref.4

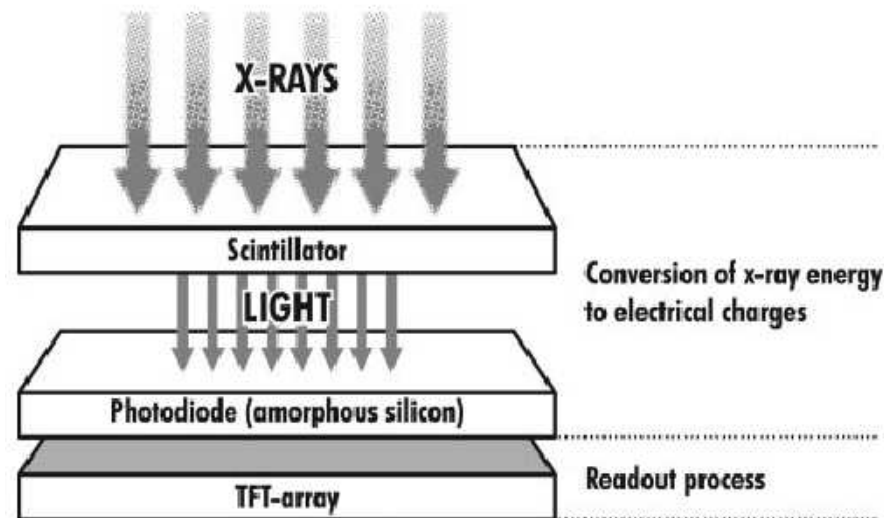


Figure 6. Drawing illustrates an amorphous silicon-based indirect conversion DR system. X-ray energy is converted into visible light in a scintillator layer. The emitted light is then converted into electrical charges by an array of silicon-based photodiodes and read out by a TFT array.

Comparação entre os diversos sistemas

Fonte: ref.4

Table 2
Technical Features of Various Digital Radiography Systems

Feature	Type of System						
	Screen-Film	Storage-Phosphor	Lens-coupled CCD	Slot-Scan CCD	Direct FPD	Indirect FPD	Indirect FPD
Converter	Gd ₂ O ₂ S	BaSrFBr:Eu	Gd ₂ O ₂ S	CsI:TI	Selenium	Gd ₂ O ₂ S	CsI:TI
Readout	Film	Laser	CCD	CCD	Active selenium matrix	Active silicon matrix	Active silicon matrix
Detector size (in)	14 × 17	14 × 17	14 × 17	17 × 17	14 × 17	17 × 17	17 × 17
Pixel size (μm)	...	200	167	162	139	160	143
Matrix	...	1760 × 2140	2000 × 2500	2736 × 2736	2560 × 3072	2688 × 2688	3121 × 3121
Nyquist frequency (cycles/mm)	5	2.5	3.0	3.1	3.6	3.1	3.5
Dynamic range	1:30	1:40,000	>1:4000	1:10,000	>1:10,000	>1:10,000	>1:10,000

Note.—FDP = flat-panel detector. =TFT

Comparação entre os diversos sistemas - DQE

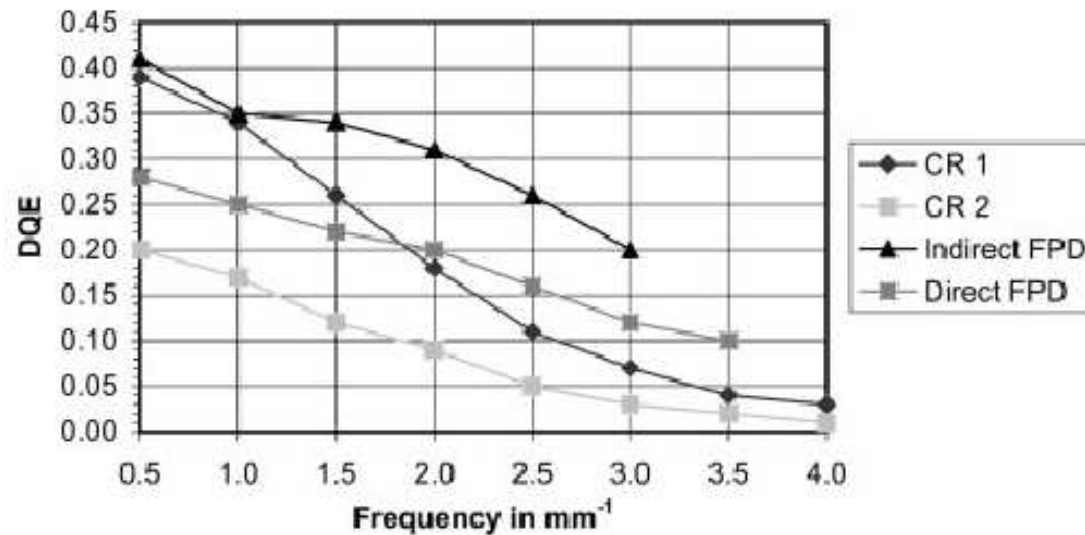


Figure 9. Graph illustrates the DQE curves for four digital detectors. *CR 1* = needle-structured storage phosphor and line scanner (MD5.0/DX-S; Agfa-Gevaert, Mortsel, Belgium), *CR 2* = unstructured storage phosphor and flying-spot scanner (MD40/ADC Compact, Agfa-Gevaert), *Indirect FPD* = CsI-based flat-panel detector (Pixium 4600; Trixell, Moirans, France), *Direct FPD* = selenium-based flat-panel detector (DR 9000; Kodak, Rochester, NY). Fonte: ref.4

DQE=Detective Quantum Efficiency

$$DQE = \left[\frac{SNR_{out}}{SNR_{in}} \right]^2$$

SNR = Signal to Noise Ratio

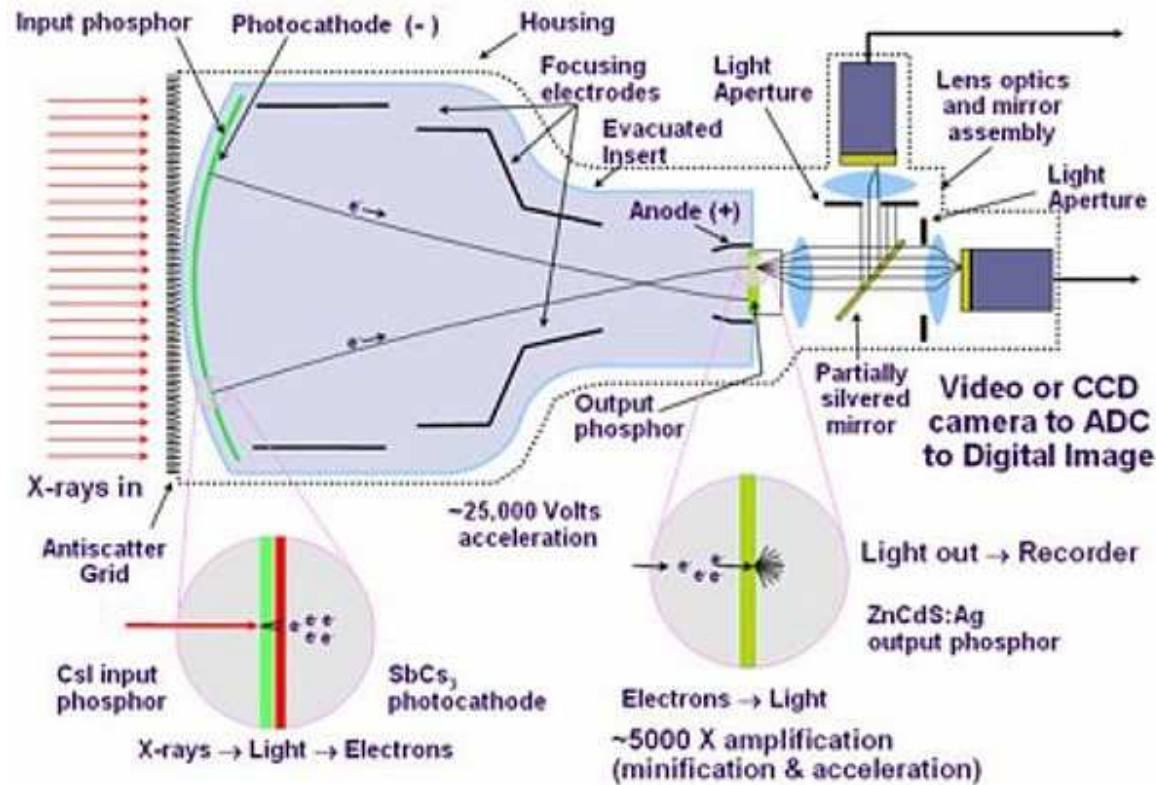
$SNR = RMS(sin al) / RMS(ruido)$

RMS=Root Mean Square

$$RMS = \sqrt{\sum (v_i - \langle v \rangle)^2 / N}$$

Fluoroscopia

Image Intensifier -- TV camera



Dose elevada para o paciente.



Origem das figuras

- 1 -Introduction to biomedical imaging, Andrew Webb, Wiley-Interscience, ISBN: 0-471-23766-3.
- 2- Introduction to biomedical engineering, John D. Enderle, Susan M. Blanchard, Joseph D. Bronzino, Elsevier, Amsterdam, ISBN: 978-0-12-238662-6.
- 3 - Encyclopedia of medical devices and instrumentation, JG Webster, 1990, John Wiley & Sons, Inc. New York, NY, USA.
- 4 - Advances in Digital Radiography: Physical Principles and System Overview, Markus Körner et al., RadioGraphics 2007; 27:675–686 • Published online 10.1148/rg.273065075
- 5 – Basic Physics of Nuclear Medicine, KieranMaher et al.,
http://en.wikibooks.org/wiki/Basic_Physics_of_Nuclear_Medicine

Energia dupla